

FIGURE 1. A gamma ray sonic log from Venture D-23 with parasequence and parasequence sets indicated; the seismic line, with the synthetic seismogram of the well, illustrates the seismic signature of the interval.

FIGURE 1. Diagnoses acoustiques et du rayonnement gamma du puits Venture D-23 sur lesquelles sont indiquées les paraséquences et les séries de paraséquences; le profil sismique, avec le sismogramme synthétique du puits, illustre la signature sismique de l'intervalle.

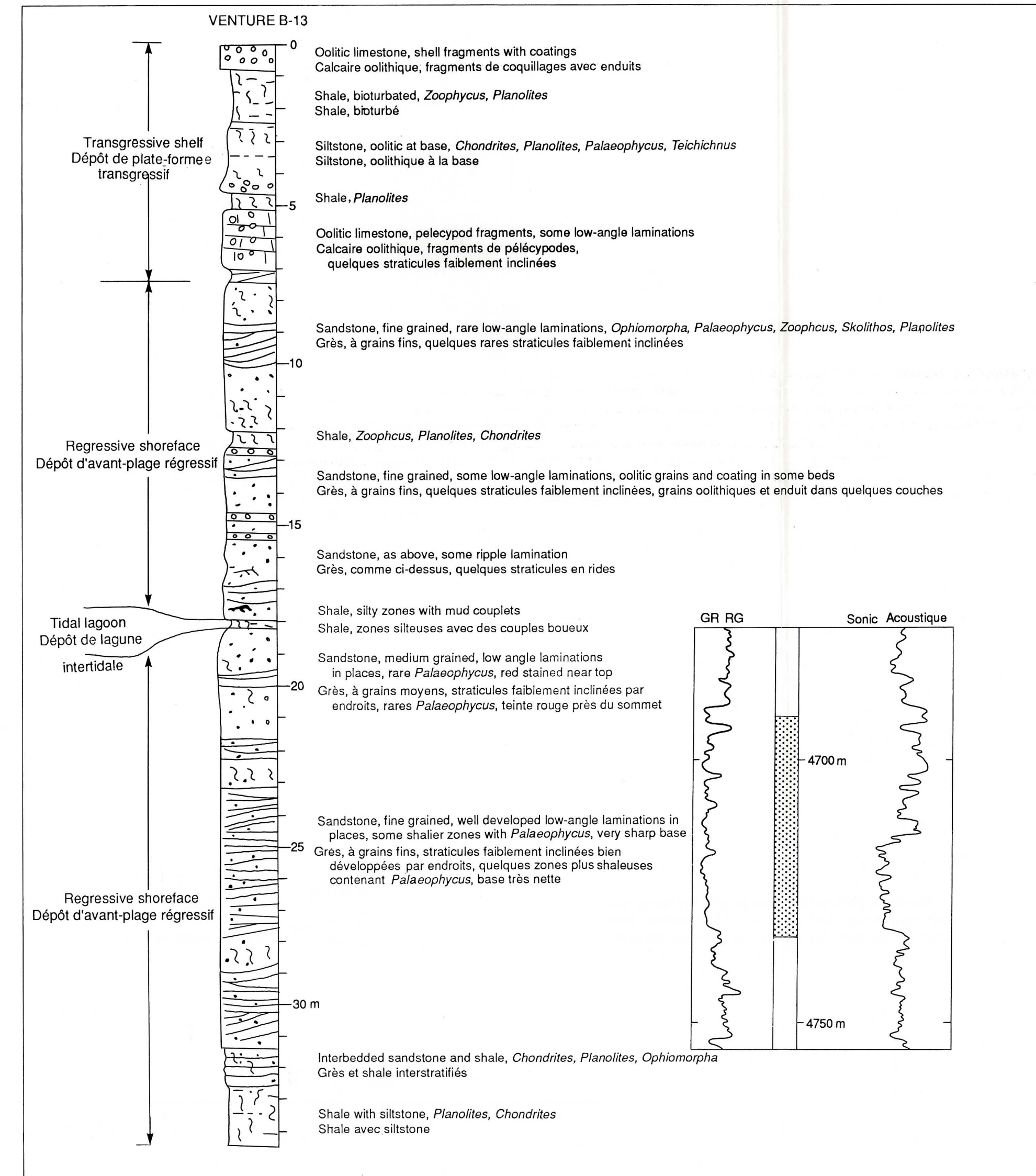


FIGURE 2. A core log from Venture B-13 (depth indicated on gamma ray-sonic log at right of the Figure)

FIGURE 2. Diagramme d'une carotte provenant du puits Venture B-13 (la profondeur est indiquée sur les diagraphies acoustique et du rayonnement gamma, à droite de la figure)

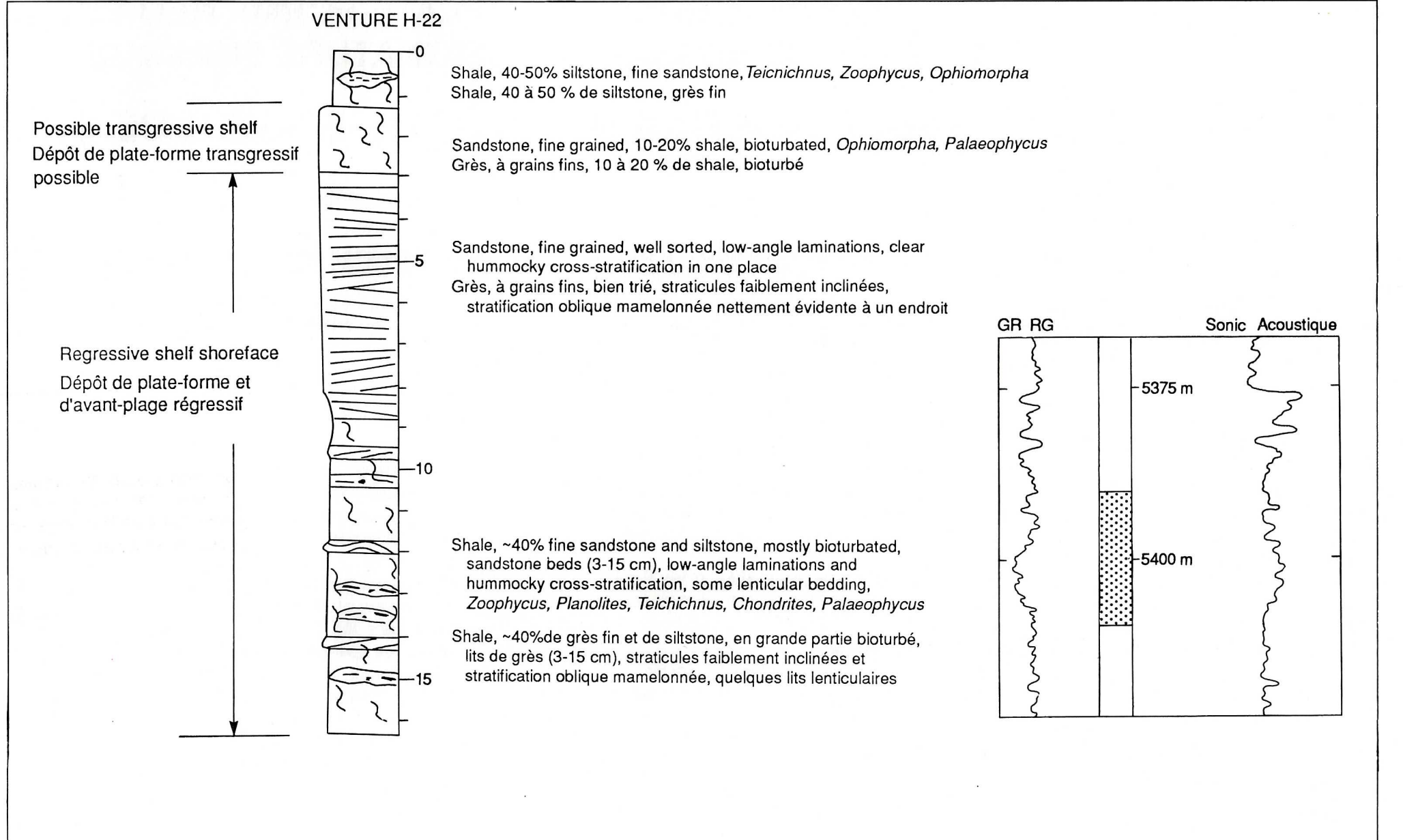


FIGURE 3. A core log from Venture H-22 (depth indicated on gamma ray sonic log at right of the Figure)

FIGURE 3. Diagramme d'une carotte provenant du puits Venture H-22 (la profondeur est indiquée sur les diagraphies acoustique et du rayonnement gamma, à droite de la figure)

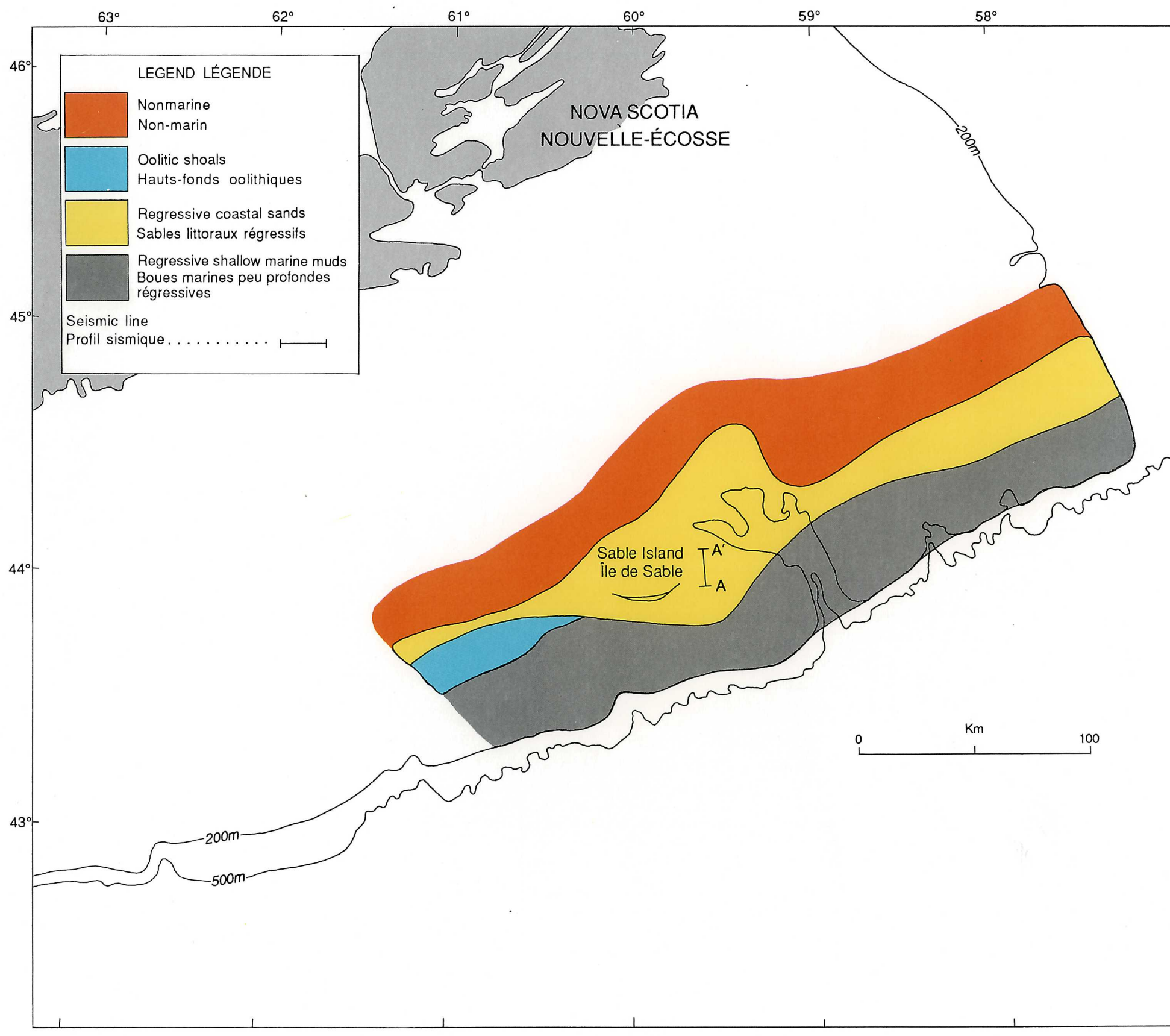


FIGURE 4. Generalized facies map, top of "O" Marker sandstone of the Mississauga Formation (compiled by P.E. Miller); seismic line A-A' (Fig. 6) as indicated.

FIGURE 4. Carte de facies généralisée, toit du grès sous-jacent au repère "O" de la Formation de Mississauga (compilée par P.E. Miller); la position du profil sismique A-A' (fig.6) est indiquée.

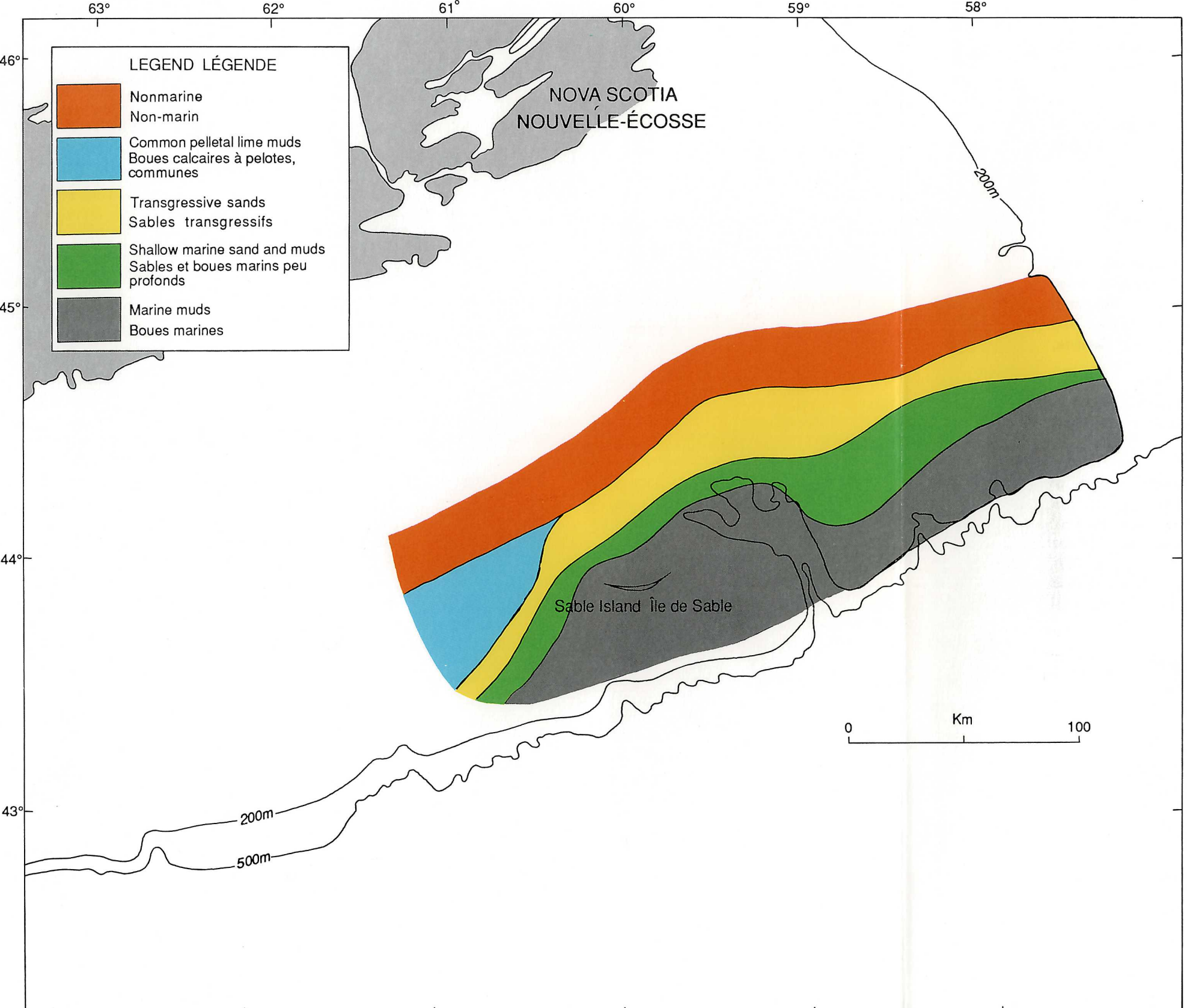


FIGURE 5. Generalized facies map, the sandstone above the "O" Marker sandstone (compiled by P.E. Miller)

FIGURE 5. Carte de facies généralisée, grès au-dessus du repère "O" (compilée par P.E. Miller)

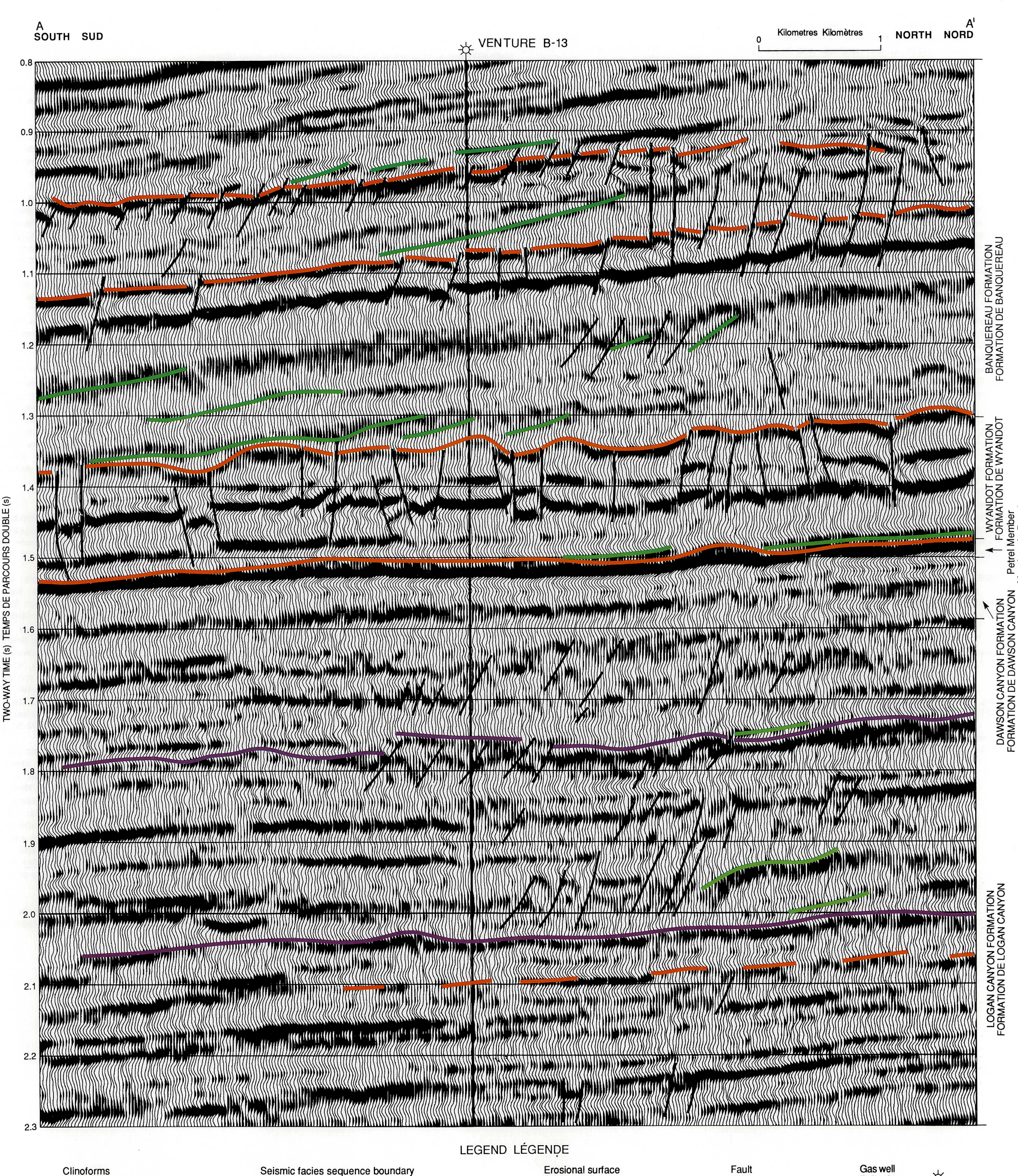


FIGURE 6. Detailed seismic line, Venture B-13 (location as indicated on Fig.4)

FIGURE 6. Profil sismique détaillé, Venture B-13 (emplacement indiqué sur la fig. 4)

SCOTIAN SHELF SEISMIC EXPRESSION 5 PLATE- FORME NÉO-ÉCOSSAISE SIGNATURE SISMIQUE SOUS-BASSIN DE SABLE